

## «یادداشت تحقیقاتی»

# برآورد عمق آب در لبه آبشار کانال‌های منشوری با جریان زیربحرانی در بالادست

سید وحید نبوی<sup>۱\*</sup>، محمد کریم بیرامی<sup>۲</sup>

۱- هیأت علمی گروه عمران، دانشگاه آزاد اسلامی، واحد خمین

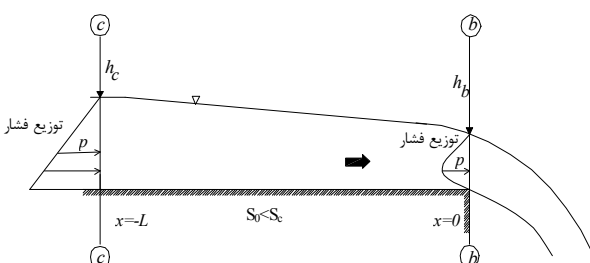
۲- دانشیار دانشکده مهندسی عمران، دانشگاه صنعتی اصفهان

\*دانشگاه آزاد اسلامی - واحد خمین، صندوق پستی ۳۸۸۱۵/۱۷۱

nabavi@ev.iut.ac.ir

**چکیده**- از عمق آب در لبه آبشار می‌توان برای اندازه‌گیری دبی جریان و بررسی فرسایش استفاده کرد. در این مقاله، بر اساس معادله انرژی، روشی ارائه شده است که با استفاده از آن، عمق جریان را در لبه آبشار و دبی جریان را برای کانال‌های منشوری با مقاطع مختلف و با جریان زیر بحرانی در بالادست می‌توان برآورد کرد. از داده‌های آزمایشگاهی و نتایج نظری دیگران برای مقایسه با نتایج روش پیشنهادی استفاده شده است. نتایج این مقایسه برای کانال‌های مستطیلی، مثلثی، سهمی، نیم دایره‌ای معکوس و مثلثی معکوس مناسب بوده و برای کانال‌های ذوزنقه‌ای و دایره‌ای در حد رضایت‌بخش است.

**کلید واژگان:** کانال روپاز، اندازه‌گیری دبی جریان، سقوط آزاد، عمق در لبه آبشار.



شکل ۱ تغییرات فشار در لبه و در بالادست آبشار

نیروی نقل باعث انحنای جت آزاد<sup>۱</sup> می‌شود و جریان  
شتاب می‌یابد.

4. Free Nape

## ۱- مقدمه

چنانچه آب از سطحی بالاتر به سطحی پایین‌تر به صورت آزاد رها شود، آبشار<sup>۱</sup> به وجود می‌آید که در آن جریان متغیر و سریع<sup>۲</sup> است (شکل ۱). در لبه آبشار<sup>۳</sup>، توزیع فشار خطي نیست و در پیرامون آن برابر فشار اتمسفر است. چنانچه جریان در کانال بالادست آبشار زیر بحرانی باشد، در نزدیکی لبه آبشار، جریان به فوق بحرانی تبدیل می‌شود.

1. Drop
2. Rapidly Varied Flow
3. Brink Depth

برای جریان زیر بحرانی، این حجم کترل از جایی که جریان بحرانی می‌شود (مقطع c) شروع و تا لبه آبشار (مقطع b) ادامه می‌یابد. در مقطع قبل از عمق بحرانی خطوط جریان تقریباً موازی هستند و می‌توان فرض کرد که جریان متغیر تدریجی بوده و توزیع فشار در این مقطع هیدرواستاتیکی است. در لبه آبشار، جریان متغیر و سریع است و توزیع فشار نمی‌تواند هیدرواستاتیک باشد. با توجه به شکل معادله انرژی بین مقاطع b و c بصورت زیر به دست می‌آید:

$$h_c + \alpha_c V_c^2 / 2g = h_b + \alpha_b V_b^2 / 2g - h_b V_b^2 / rg + \Delta E - \Delta Z \quad (1)$$

که در آن c و b به ترتیب متناظر با مقطع c و b، عمق  $\Delta Z$  جریان،  $V$  سرعت متوسط جریان،  $\Delta E$  افت انرژی،  $\alpha$  ضریب اختلاف ارتفاع کف کanal بین مقاطع b و c،  $r$  شعاع انحنای جریان در لبه آبشار،  $g$  شتاب جاذبه و  $\alpha$  ضریب توزیع سرعت است که مقدار آن در مقطع با عمق بحرانی برابر با لبه آبشار در نظر گرفته شده است ( $\alpha_c = \alpha_b = \alpha$ ). با توجه به اینکه در جریان زیر بحرانی اختلاف کف کanal در فاصله کوتاه بین مقاطع c و b بسیار کم بوده و افت انرژی نیز زیاد نیست، عبارت  $(\Delta E - \Delta Z)$  در رابطه (1) را می‌توان تقریباً برابر صفر در نظر گرفت. از طرفی با قرار دادن  $V = Q/A$  در رابطه (1) که در آن A سطح مقطع جریان و Q دبی جریان است، رابطه (1) به صورت زیر بازنویسی می‌شود:

$$h_c + \alpha Q^2 / (2g A_c^2) = h_b + \alpha Q^2 / (2g A_b^2) - h_b Q^2 / (rg A_b^2) \quad (2)$$

در مقطع c با جریان بحرانی رابطه زیر حاکم است:

$$\alpha Q^2 = g A_c^3 / T_c \quad (3)$$

که در آن T عرض در سطح آزاد آب است. با قرار دادن

Q از رابطه (3) در رابطه (2) داریم:

$$h_c + 0.5 A_c / T_c = h_b + 0.5 A_c^3 / (A_b^2 T_c) - h_b [A_c^3 / (\alpha A_b^2 T_c)] \quad (4)$$

از طرفی، تغییر فشار مثبت در کف کanal بالا دست به فشار صفر به این انحصار شدت می‌دهد. در نتیجه عمق در لبه آبشار کمتر از عمق بحرانی می‌شود. در مسائل عملی، اندازه‌گیری دبی جریان با توجه به عمق آب در لبه آبشار و بررسی منحنی سطح آب در بالا دست آبشار، برای ارزیابی سرعت جریان و فرسایش احتمالی کanal، اهمیت خاصی دارد.

Rouse (1936) در آزمایشی برای اولین بار سقوط آزاد را در کanal مستطیلی بررسی کرد و نسبت عمق در لبه آبشار به عمق بحرانی (EDR)<sup>1</sup> را در کanal مستطیلی برای حالتی که دیوار کanal تا پایین دست جت آزاد ادامه داشته باشد (حالت محصور<sup>2</sup>) برابر ۰/۷۱۵ بود. بدست آورد و با استفاده از آن دبی جریان را تخمین زد. پس از او تحقیقات متعددی در این زمینه برای کanal‌هایی با مقاطع عرضی مختلف توسط سایر محققان انجام شده که فهرستی از آنها در (Beirami et al. 2006) ارائه شده است.

در این مقاله روشی پیشنهاد شده است که توسط آن می‌توان عمق آب در لبه آبشار را برای هر کanal دلخواه تخمین زد و از آنجا دبی جریان را محاسبه کرد. در این روش از معادله انرژی استفاده شده و جریان در کanal بالا دست آبشار زیر بحرانی در نظر گرفته می‌شود؛ همچنین از داده‌های آزمایشگاهی و نتایج نظری دیگران برای مقایسه استفاده شده است.

## ۲- روش پیشنهادی برای محاسبه EDR و دبی جریان

برای بررسی جریان در بالا دست شیب‌شکن قائم، بر طبق شکل ۱ نخست یک حجم کترل در نظر گرفته می‌شود.

1. End Depth Ratio  
2. Confined

برای به دست آوردن EDR و دبی جریان مربوط به هر کanal ارائه شده که در آن  $N = mh/b$  است.

### ۳- نتایج محاسبات و مقایسه

با توجه به معادلات به دست آمده برای محاسبه EDR و دبی جریان در کanal‌های با مقاطع مختلف، نتایج زیر حاصل می‌شود:

۱- در کanal مستطیلی، EDR به دست آمده از روش پیشنهادی برابر  $0.707$  است و همانطور که در جدول ۳ نشان داده شده با مقادیر به دست آمده توسط دیگران اختلاف ناچیزی (در حدود  $-1$  تا  $+2$  درصد) دارد. همچنین، دبی جریان بر اساس روش پیشنهادی برابر  $1.6818g^{0.5}bh_b^{1.5}$  به دست می‌آید که بسیار نزدیک به مقادیر به دست آمده توسط دیگران بوده و خطای در حدود  $-3$  تا  $+2$  درصد دارد.

۲- در کanal مثلثی، EDR به دست آمده از روش پیشنهادی برابر  $0.80$  است و همانطور که در جدول ۳ نشان Rajaratnam and Murty (1972) (1964) Ali and Sykes (1972) Muralidhar (1964) (1994) اختلاف ناچیزی در حدود  $+1$  درصد و با روش (1977) Anderson اختلافی در حدود  $5$  درصد دارد. همچنین، دبی جریان بر اساس روش پیشنهادی برابر  $1.2345g^{0.5}mh_b^{2.5}$  به دست می‌آید. در اینجا نیز به جز روش (1977) Anderson، مقادیر دبی جریان بسیار نزدیک به مقادیر به دست آمده توسط دیگران است و خطای کمتر از  $-2$  درصد دارد.

۳- در کanal سه‌می، EDR به دست آمده از روش پیشنهادی برابر  $0.7625$  است و همانطور که در جدول ۳ نشان داده شده با مقادیر به دست آمده توسط Rajaratnam Ali and Sykes (1972) and Muralidhar (1964)

در این تحقیق فرض شده که میزان بار (هد<sup>۱</sup>) حاصل از اثر عمق و انحنای در لبه آبشار، یا بهیانی دیگر

$h_b[1-A_c^2/(aA_b^2T_c)]$  است. از این رو با متعدد قرار دادن  $h_b/h_c$  با EDR و تقسیم دو طرف معادله

(۴) بر  $h_c$  معادله زیر به دست می‌آید:

$$1+A_c/(2T_c h_c) = (A_c/A_b)^2 (A_c/2T_c h_c) + (h_b/h_c)^2 \quad (5)$$

با قرار دادن مشخصات هندسی هر کanal دلخواه در رابطه (۵) و حل معادله با روش‌های عددی، (در اینجا با نرم‌افزار Excel EDR=h<sub>b</sub>/h<sub>c</sub>) به دست می‌آید. پارامترهای معادله (۵) برای کanal‌های با مقاطع عرضی مختلف در جدول ۱ آورده شده است.

در این جدول،  $b$  عرض کف کanal ذوزنقه‌ای یا عرض کanal مستطیلی،  $m$  شیب جانبی کanal مثلثی یا ذوزنقه‌ای،  $d$  قطر کanal دایره‌ای بوده و  $c_1$  و  $c_2$  ضرایب ثابتی هستند که به شکل کanal بستگی دارند. در کanal مستطیلی  $c_1=b$  و  $c_2=0$ ، در کanal مثلثی  $c_1=2m$  و  $c_2=1$  بوده و در کanal سه‌می مقدار آنها با توجه به معادله سه‌می تعیین می‌شود. در اینجا  $\hat{h}$  برابر  $h/d$  در کanal‌های دایره‌ای و  $h/z$  در کanal مثلثی معکوس است.  $z$  ارتفاع کanal بوده (شکل ۳) و  $\psi(\hat{h})$  نیز به صورت زیر به دست می‌آید:

$$\psi(\hat{h}) = \arcsin(2\hat{h}) + 2\hat{h}(1-4\hat{h}^2)^{0.5} \quad (6)$$

$$\eta(\hat{h}) = \arccos(1-2\hat{h}) - 2(1-2\hat{h})(\hat{h}(1-\hat{h}))^{0.5} \quad (7)$$

برای تخمین دبی جریان از رابطه (۳) استفاده می‌شود. برای این منظور با قرار دادن  $a=1$ ، مشخصات هندسی کanal دلخواه ( $A$  و  $T$ ) و EDR به دست آمده در رابطه (۳)، دبی جریان به صورت تابعی از عمق در لبه آبشار ( $h_b$ ) به دست می‌آید. در عمل با اندازه‌گیری  $h_b$  می‌توان دبی جریان را تخمین زد. در جدول ۲، معادلات نهایی

با روش‌های ریاضی دیگران اختلاف پیدا می‌کند.  
۴- همانطور که در شکل ۲-الف نشان داده شده در کanal ذوزنقه‌ای، بین نتایج آزمایشگاهی Diskin (1961) با شبیه جانبی ( $m=1/5$ ) و (m=2) Pagliara and Viti (1995) با روش پیشنهادی اختلاف ناچیزی مشاهده می‌شود، اما با نتایج آزمایشگاهی Keller and Fong (1989) و همچنین Diskin (1961) -که آزمایش‌های خود را بر روی  $N \geq 1/2$  انجام داده‌اند- اختلاف قابل ملاحظه است.

Murty (1994) اختلاف ناچیزی در حدود  $\pm 2$  درصد دارد. همچنین، دبی جریان بر اساس روش پیشنهادی برابر  $0.936c_1g^{0.5}h_b^2$  به دست می‌آید که با کارهای دیگران در حدود  $-4/5$  تا  $+2/5$  درصد اختلاف دارد. در این مورد نیز، نتایج تحقیق حاضر با نتایج Anderson (1977) اختلاف قابل ملاحظه‌ای پیدا می‌کند. لازم است ذکر شود که نتایج حاصل از این تحقیق نشان می‌دهد که روش پیشنهادی با داده‌های آزمایشگاهی دیگران تطابق بسیار خوبی دارد، اما

جدول ۱ سطح مقطع جریان (A) و عرض در سطح آزاد آب (T) برای کanalهای با مقطع عرضی مختلف

T	A	مقطع عرضی کanal
b	bh	مستطیلی
2mh	$mh^2$	مثلثی
$c_1 h^{c_2}$	$[c_1/(1+c_2)]h^{1+c_2}$	سهمی
$b+2mh$	$bh(1+mh/b)$	ذوزنقه‌ای
$2z(1-\hat{h})/3^{0.5}$	$z^2(2-\hat{h})\hat{h}/3^{0.5}$	مثلثی معکوس
$d(1-4\hat{h}^2)^{0.5}$	$0.25d^2\psi(\hat{h})$	نیم دایره‌ای معکوس
$2d[\hat{h}(1-\hat{h})]^{0.5}$	$0.25d^2\eta(\hat{h})$	دایره‌ای

جدول ۲ معادلات نهائی برای محاسبه EDR و دبی جریان در کanalهای با مقطع عرضی مختلف (X=EDR)

دبی جریان	معادله نهائی محاسبه EDR	مقطع عرضی کanal
$Q=1.6818g^{0.5}bh_b^{1.5}$	$3/2=1/(2X^2)+X^2$	مستطیلی
$Q=1.2345g^{0.5}mh_b^{2.5}$	$5/4=1/(4X^4)+X^2$	مثلثی
$Q=0.936c_1g^{0.5}h_b^2$	$4/3=1/(3X^3)+X^2$	سهمی
$Q/(g^{0.5}b^{2.5})=N_b^{1.5}(X+N_b)^{1.5}/(X^5m^3(X+2N_b))^{0.5}$	$(3+5N_b)/(2+4N_b)=$ $(1+N_b)^3/[2(1+2N_b)(1+N_b)^2X^2]+X^2$	ذوزنقه‌ای
$Q/(g^{0.5}z^{2.5})=(\hat{h}_b^3/6)^{0.5}(2X-\hat{h}_b)^{1.5}/[X^5(X-\hat{h}_b)]^{0.5}$	$1+0.25(2-\hat{h}_c)/(1-\hat{h}_c)=$ $(2-\hat{h}_c)^3/[4(1-\hat{h}_c)(2-\hat{h}_c)^2X^2]+X^2$	مثلثی معکوس
$Q/(g^{0.5}d^{2.5})=X^{0.5}\psi(\hat{h}_b/X)^{1.5}/[8(X^2-4\hat{h}_b^2)^{0.25}]$	$1+\psi(\hat{h}_c)/[8\hat{h}_c(1-4\hat{h}_c^2)^{0.5}]=$ $\psi^3(\hat{h}_c)/[8\hat{h}_c\psi^2(\hat{h}_b)(1-4\hat{h}_c^2)^{0.5}]+X^2$	نیم دایره‌ای معکوس
$Q/(g^{0.5}d^{2.5})=X^{0.5}\eta(\hat{h}_b/X)^{1.5}/[128\hat{h}_b(X-\hat{h}_b)]^{0.5}$	$1+\eta(\hat{h}_c)/[16\hat{h}_c(\hat{h}_c(1-\hat{h}_c))^{0.5}]=$ $\eta^3(\hat{h}_c)/[16\hat{h}_c\eta^2(\hat{h}_b)(\hat{h}_c(1-\hat{h}_c))^{0.5}]+X^2$	دایره‌ای

جدول ۳ مقایسه EDR و دبی جریان به دست آمده با نتایج دیگران در کانال‌های مستطیلی، مثلثی و سه‌می

مقطع عرضی	محققین	$X=h_b/h_c$	اختلاف	دبی جریان (Q)	اختلاف	توضیح
مستطیلی	نبوی و بیرامی	0.707	-	$1.6818g^{0.5}bh_b^{1.5}$	-	غیر محصور
	Rouse (1936)	0.715	-1.12%	$1.654g^{0.5}bh_b^{1.5}$	-1.12%	محصور
	Rajaratnam & Muralidhar (1964)	0.715	-1.12%	$1.654g^{0.5}bh_b^{1.5}$	-1.12%	محصور
	Murty (1994)	0.705	0.28%	$1.6893g^{0.5}bh_b^{1.5}$	0.28%	غیر محصور
	Anderson (1977)	0.694	1.87%	$1.7297g^{0.5}bh_b^{1.5}$	1.87%	غیر محصور
	Hager (1983)	0.696	1.58%	$1.7222g^{0.5}bh_b^{1.5}$	1.58%	غیر محصور
	Ali & Sykes (1972)	0.798	0.25%	$1.243g^{0.5}mh_b^{2.5}$	0.25%	غیر محصور
	Anderson (1977)	0.762	5%	$1.395g^{0.5}mh_b^{2.5}$	-11.51%	غیر محصور
	Murty (1994)	0.795	0.63%	$1.2548g^{0.5}mh_b^{2.5}$	-1.62%	غیر محصور
	Ahmad (2002)	0.802	-0.25%	$1.2276g^{0.5}mh_b^{2.5}$	0.56%	غیر محصور
مثلثی	نبوی و بیرامی	0.800	-	$1.2345g^{0.5}mh_b^{2.5}$	-	غیر محصور
	Rajaratnam & Muralidhar (1964)	0.795	0.63%	$1.2548g^{0.5}mh_b^{2.5}$	-1.62%	غیر محصور
	Ali & Sykes (1972)	0.798	0.25%	$1.243g^{0.5}mh_b^{2.5}$	-0.68%	غیر محصور
	Anderson (1977)	0.762	5%	$1.395g^{0.5}mh_b^{2.5}$	-11.51%	غیر محصور
	Murty (1994)	0.795	0.63%	$1.2548g^{0.5}mh_b^{2.5}$	-1.62%	غیر محصور
سه‌می	نبوی و بیرامی	0.762	-	$0.936c_1g^{0.5}h_b^2$	-	غیر محصور
	Rajaratnam & Muralidhar (1964)	0.772	-1.23%	$0.913c_1g^{0.5}h_b^2$	2.52%	غیر محصور
	Ali & Sykes (1972)	0.747	2.07%	$0.975c_1g^{0.5}h_b^2$	-4%	غیر محصور
	Anderson (1977)	0.735	3.74%	$1.01c_1g^{0.5}h_b^2$	-7.33%	غیر محصور
	Murty (1994)	0.758	0.59%	$0.947c_1g^{0.5}h_b^2$	-1.16%	غیر محصور

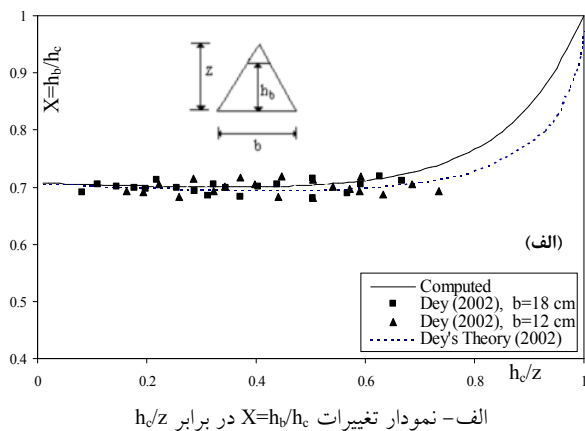
در ضمن بین روش پیشنهادی و روش نظری Murty (1994) و Ali and Sykes (1972) اختلاف ناچیزی در حدود ۱ درصد مشاهده می‌شود. به ازای Diskin (1961) ( $m=1/5$ ) و روش پیشنهادی اختلاف بیشتری در حدود حداقل ۱۲ درصد دیده می‌شود، اما در مقایسه نتایج Diskin (1961)، Ali and Sykes (1994) و Murty (1994) این اختلاف کمتر است. بنابراین، با استفاده از شکل ۲ ب و به ازای  $mh_b/b \leq 1$  می‌توان دبی جریان را با دقت زیادی تخمین زد.

۵- در کanal مثلثی معکوس همانطور که در شکل ۳-الف نشان داده شده، EDR محاسباتی در محدوده

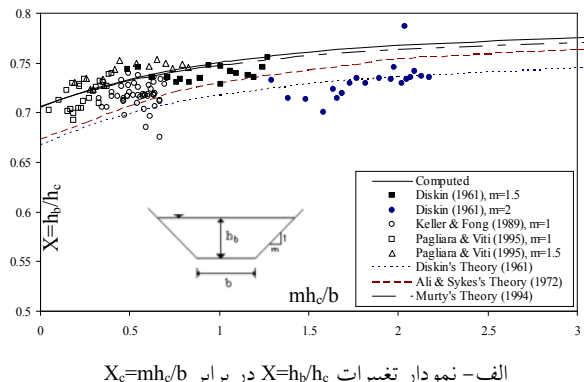
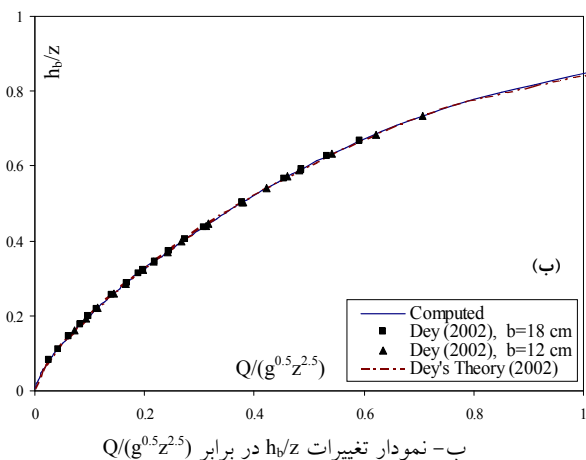
در ضمن بین روش پیشنهادی و روش نظری Murty (1994) اختلاف بسیار ناچیزی در حدود ۱ درصد مشاهده می‌شود اما با نظریه Diskin (1972) و Ali and Sykes (1972) (1961) که به ترتیب از تئوری گرداب آزاد و معادله مومنتم با فرض فشار صفر در لبه آبشار استفاده کرده‌اند، اختلاف بیشتری مشاهده می‌شود.

در مورد دبی جریان نیز همانطور که در شکل ۲-ب ملاحظه می‌شود به ازای  $Qm^{1.5}/(g^{0.5}b^{2.5}) \leq 2/8$  بین نتایج روش پیشنهادی و نتایج آزمایشگاهی Keller and Diskin (1995)، Pagliara and Viti (1989) Fong (1989) و همچنین نتایج نظری Diskin (1961) ( $m=2$ ) و همچنین نتایج نظری (1961)

Dey (2003) مختلف انجام شده و بهویژه به نتایج نظری (2003) بسیار نزدیک است. همچنین، تغییرات  $Q/(g^{0.5}d^{2.5})$  در برابر  $h_b/d$  با نتایج آزمایشگاهی و بهویژه با نتایج نظری Dey (2003) مطابقت بسیار خوبی دارد. بنابراین در این کanal، با استفاده از نمودار شکل ۴-ب می‌توان دبی جریان را با خطای کمتر از  $\pm 5$  درصد تخمین زد.

(الف)-نمودار تغییرات  $X=h_b/h_c$  در برابر  $h_c/z$ 

$h_b/z \leq 0.7$  بین ۱۹۳/۰ تا ۷۰۵/۰ متغیر است و به نتایج نظری و آزمایشگاهی (2002) Dey که بر روی دو کanal مختلف صورت گرفته، بسیار نزدیک است. همچنین تغییرات  $Q/(g^{0.5}d^{2.5})$  در برابر  $h_b/z$  با نتایج آزمایشگاهی و نظری (2002) Dey مطابقت بسیار خوبی دارد. بنابراین در این کanal با اندازه‌گیری عمق در لبه آبشار و با استفاده از نمودار شکل ۳-ب می‌توان دبی جریان را با خطای بسیار ناچیزی تخمین زد.

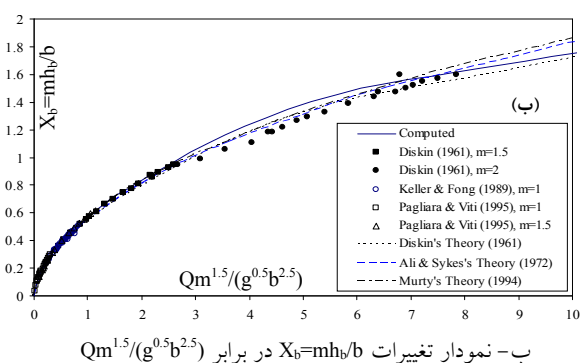
(الف)-نمودار تغییرات  $X_c = h_b/h_c$  در برابر  $m h_c/b$ 

(ب)

ب-نمودار تغییرات  $h_b/z$  در برابر  $Q/(g^{0.5}z^{2.5})$ 

شکل ۳ مقایسه پارامترهای کanal مثنی

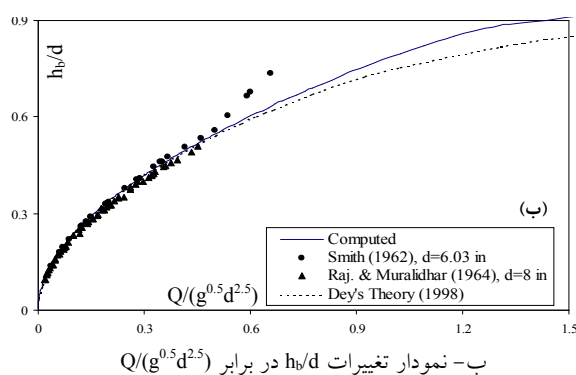
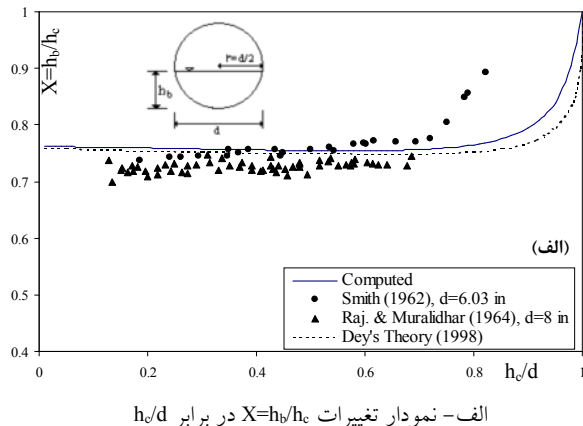
۷- در کanal دایره‌ای همانطور که در شکل ۴-الف نشان داده شده، EDR محاسباتی به ازای  $0.1 \leq h_c/d \leq 0.8$  به طور متوسط برابر ۷۵/۰ است که با نتایج آزمایشگاهی Rajaratnam and Muralidhar (1964) و Smith (1962)

ب-نمودار تغییرات  $X_b = mh_b/b$  در برابر  $Qm^{1.5}/(g^{0.5}b^{2.5})$ 

شکل ۲ مقایسه پارامترهای کanal ذوزنقه‌ای

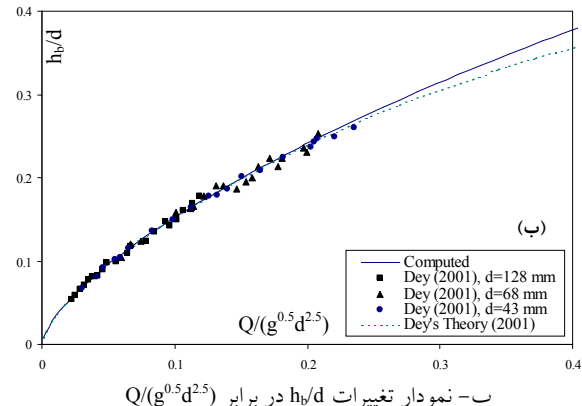
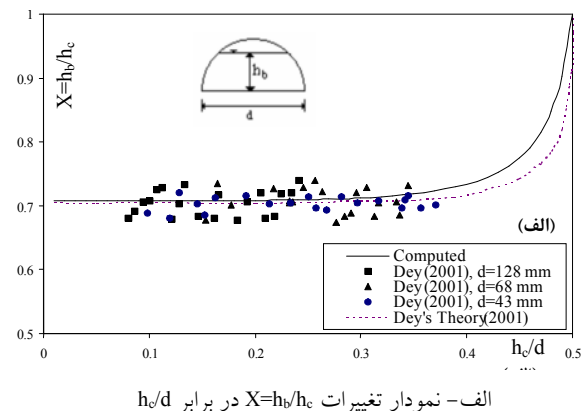
۶- در کanal نیم‌دایره‌ای معکوس همان‌طور که در شکل ۴-الف نشان داده شده، EDR پیشنهادی به ازای  $h_c/d \leq 0.35$  به طور متوسط برابر ۷۰۵/۰ است. این مقدار به نتایج آزمایشگاهی (2001) Dey که بر روی سه کanal

در شکل ۵-ب نشان داده و همانطور که دیده می‌شود منحنی محاسبه شده به ازاء  $Q/(g^{0.5}d^{2.5}) \leq 0.5$  با نتایج Rajaratnam and Smith (1962) و آزمایشگاهی (1962) و Muralidhar (1964) مطابقت خوبی دارد. به ازای  $Q/(g^{0.5}d^{2.5}) > 0.5$  بین نتایج آزمایشگاهی (1962) و روش پیشنهادی مقداری اختلاف دیده می‌شود، اما نتایج روش پیشنهادی و نظریه Dey (2003) در محدوده  $Q/(g^{0.5}d^{2.5}) \leq 0.5$  مطابق بسیار خوبی دارند. البته در محدوده  $Q/(g^{0.5}d^{2.5}) > 0.5$  اختلاف این دو نظریه در حدود ۴ درصد است.



شکل ۵ مقایسه پارامترهای کanal نیم دایره‌ای

که EDR متوسط را به ترتیب برابر  $0.772$  و  $0.725$  به دست آورده‌اند، اختلاف ناچیزی در حدود  $\pm 3$  درصد دارد. به ازای  $h_c/d \leq 0.9$  به شدت افزایش می‌یابد و به ازای  $h_c/d = 1$  به عدد یک می‌رسد، اما در نتایج آزمایشگاهی (1962) Smith این افزایش ناگهانی EDR از شروع  $h_c/d > 0.7$  می‌شود.



شکل ۶ مقایسه پارامترهای کanal نیم دایره‌ای

Dey (1998) نیز در نظریه خود EDR متوسط را برابر  $0.75$  به دست آورد و همان‌طور که در شکل ۵-الف دیده می‌شود، نظریه ایشان دقیقاً بر روش پیشنهادی منطبق است. در کanal دایره‌ای تغییرات  $Q/(g^{0.5}d^{2.5})$  در برابر  $h_c/d$

N	mh/b
Q	دبي جريان
r	شعاع انحناء
T	عرض در سطح آزاد آب
V	سرعت متوسط جريان
X	نسبت عمق در لبه آبشار به عمق بحرانی ( $h_b/h_c$ )
$\alpha$	ضریب توزیع سرعت
$\Delta E$	افت انرژی
$\Delta Z$	اختلاف ارتفاع کف کanal بین دو مقطع
b	مربوط به جريان در لبه آبشار (زیرنويس)
c	مربوط به جريان بحرانی (زیرنويس)

#### ۴- نتیجه‌گیری

در این تحقیق، بر اساس معادله انرژی و با صرف نظر کردن از افت انرژی در حجم کترل، به علت فاصله کوتاه آن و همچنین در نظر گرفتن میزان هد عمق و انحنای در لبه آبشار یعنی  $[h_b/(aA_b^2T_c)]^{1/3}$  برابر با  $h_b[1-A_c^3/(aA_b^2r)]^{1/3}$  دبی جريان و نسبت عمق در لبه آبشار به عمق بحرانی در جريان زیر بحرانی برای کانال‌ها با مقطع عرضی مختلف به دست آمد. اين روش، با مقایسه نتایج آن با نتایج آزمایشگاهی موجود برای کانال‌هایي با مقاطع مختلف، ارزیابی شد و نتایج نشان داد که روش پیشنهادی برای بسیاری از کانال‌های مورد مطالعه، به خصوص برای کانال‌های مستطیلی، مثلثی، سهمی، مثلثی معکوس با  $h_b/d < 0.25$ ، نیم دایره‌ای معکوس با  $h_b/d > 0.25$  و دایره‌ای كامل با  $h_b/d > 0.6$  نتایج مناسبی را ارائه می‌دهد و به طور متوسط خطای کمتر از  $5 \pm 1$  درصد دارد. در مورد کانال ذوزنقه‌ای اختلاف بیشتری بین نتایج آزمایشگاهی و روش پیشنهادی دیده می‌شود، اما با وجود اين به ازاي  $h_b/b < 1$  می‌توان دبی جريان را با دقت بالايی تخمین زد.

#### ۶- منابع

- Ahmad, Z. (2002). "Free overfall as measuring device in triangular channels", Conf. of hydr., water resources and ocean engineering, pp. 115–119.
- Ali, K. H. M. and Sykes, A. (1972). "Free-vortex theory applied to free overfall", J. Hydr. Div., ASCE, 98(5), pp. 973-979.
- Beirami, M.K. Nabavi, S.V. and Chamani, M.R. (2006). "Free overfall in channels with different cross sections and sub-critical flow", Iranian Journal of Science and Technology, 30 (B1), pp. 97–105.
- Dey, S. (2003). "Free overfall in inverted semicircular channels", J. Hydr. Eng., ASCE, 129(6), pp. 438–447.
- Dey, S. (2002). "Free overfall in circular channels with flat base: A method of open channel flow measurement", Flow Meas. Instrum., 13(5-6), pp. 209-221.
- Dey, S. (2001). "EDR in circular channels", J. Irrig. Drain. Div., ASCE, 127(2), pp. 110–112.
- Dey, S. (1998). "End depth in circular channels", J. Hydr. Eng., ASCE, 124(8), pp. 856–863.

#### ۵- فهرست علائم

A	سطح مقطع جريان
b	عرض کف کانال ذوزنقه‌ای یا عرض کانال مستطیلی
$c_1$ و $c_2$	ضریب شکل کانال سهمی
d	قطر کانال
D	عمق هیدرولیکی
g	شتاب ثقل
h	عمق مقطع جريان
$\hat{h}$	عمق بی بعد برابر $h/d$ در کانال‌های دایره‌ای و یا $h/z$ در کانال مثلثی معکوس
z	ارتفاع کانال مثلثی معکوس
m	شیب جانبی کانال مثلثی یا ذوزنقه‌ای

- Pagliara, S. and Viti, C. (1995). "Discussion on 'Discharge prediction in smooth trapezoidal free overfall' by Gupta, R.D. Jamil, M. and Mohsin, M.", J. Irrig. Drain. Div., ASCE, 121(1), pp. 128–130.
- Rajaratnam, N. and Muralidhar, D. (1964). "End depth for circular channels." J. Hydr. Div., ASCE, 90(2), pp. 99–119.
- Rajaratnam, N. and Muralidhar, D. (1964). "End depth for exponential channels", J. Irrig. Drain. Div., ASCE, 90(1), pp. 17–36.
- Rouse, H. (1936). "Discharge characteristics of the free overfall", Civil Eng., ASCE, 6(4), pp. 257–260.
- Smith, C.D. (1962). "Brink depth for a circular channel", J. Hydr. Div., ASCE, 88(6), pp. 125–134.
- Subramanya, K. (1977). Flow in open channels. Tata McGraw Hill Publishing Company, Inc., NewDelhi, India.
- Dey, S. and Ravi Kumar, B. (2002). "Hydraulics of free overfall in  $\Delta$  shaped channels", Sadhana Proceedings of Indian Academy Sciences, 27(June), pp. 353-363.
- Diskin, M.H. (1961). "The end depth at a drop in trapezoidal channels", J. Hydr. Div., ASCE, 87(4), pp. 11–32.
- Ferro, V. (1999). "Theoretical end-depth-discharge relationships for free overfall", J. Irrig. Drain. Div., ASCE, 125(1), pp. 40–44.
- Hager, W.H. (1983). "Hydraulics of the plane overfall", J. Hydr. Eng., ASCE, 109(2), pp. 1683–1697.
- Keller, R.J. and Fong, S.S. (1989). "Flow measurement with trapezoidal free overfall", J. Irrig. Drain. Div., ASCE, 115(1), pp. 125–136.
- Murty Bhallamudi, S. (1994). "End depth in trapezoidal and exponential channels", J. Hydr. Res., 32(2), pp. 219–232.